

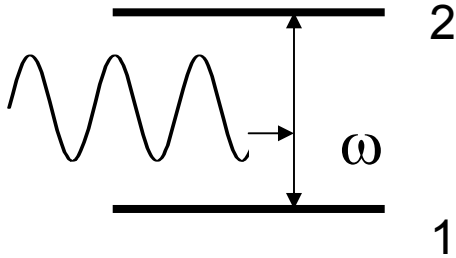
# ***ВОЛНЫ СВЕТА И ВЕЩЕСТВА***

Е.В. Грызлова

НИИЯФ МГУ  
Осенний семестр 2013 г.

- 1. «Разминка».**
- 2. Плоская волна и понятие волнового пакета – волны вещества.**
- 3. Системы со сферической симметрией.**
- 4. Начала теории рассеяния.**
- 5. Резонансной рассеяния и вопрос о двойных полюсах матрицы рассеяния.**
- 6. Двухуровневая система, связь лазерным полем:**
  - а) эффект Аутлера-Таунска
  - б) поляризационные характеристики поля
  - в) поворот плоскости поляризации
  - г) понятие дихроизма, естественный и индуцированный
  - д) электромагнитно-индуцированная прозрачность
  - е) лазерное охлаждение
- 7. Изучение антипротония.**
- 8. Нобелевская премия по физике 2012 года. Изучение одиночной квантовой системы.**

# Двухуровневая система в лазерном поле

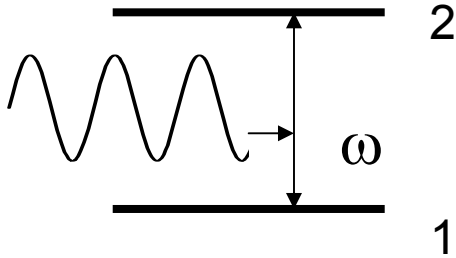


- На какой частоте осциллирует заселенность состояний?
- На какой частоте осциллирует дипольный момент индуцированный в среде
- Сколько линий видно в спектре?

**Эффект Аутлера-Таунса**  
**Осцилляции Раби**

# Двухуровневая система в лазерном поле

## Эффект Аутлера-Таунса



$$|\psi(t)\rangle = c_1(t)|\varphi_1\rangle + c_2(t)|\varphi_2\rangle$$

$$\frac{\partial}{\partial t}|\psi(t)\rangle = -i\hat{H}|\psi(t)\rangle, \quad \hat{H} = E_1|\varphi_1\rangle\langle\varphi_1| + E_2|\varphi_2\rangle\langle\varphi_2| + \hat{V}(t);$$

Оператор взаимодействия в дипольном приближении

$$\hat{V}(t) = -e \cdot E(t)x = -E(t)(d_{12}|\varphi_1\rangle\langle\varphi_2| + d_{21}|\varphi_2\rangle\langle\varphi_1|);$$

$$d_{12} = d_{21}^* = e \cdot \langle\varphi_1|\hat{D}|\varphi_2\rangle.$$

Напряженность электромагнитного поля  $E(t) = E_0 \cos \omega t$ .

$$\dot{c}_1(t) = -iE_1c_1(t) + i \cdot d_{12}E_0c_2(t)\cos \omega t;$$

$$\dot{c}_2(t) = -iE_2c_2(t) + i \cdot d_{21}E_0c_1(t)\cos \omega t.$$

В **приближении вращающейся волны**, заменив

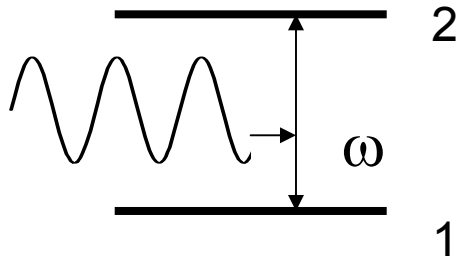
$$c'_1(t) = c_1(t)\exp(iE_1t);$$

$$c'_2(t) = c_2(t)\exp(iE_2t);$$

$$\dot{c}'_1(t) = i/2 \cdot d_{12}E_0c'_2(t)\exp(-i(E_2 - E_1 - \omega)t);$$

$$\dot{c}'_2(t) = i/2 \cdot d_{21}E_0c'_1(t)\exp(i(E_2 - E_1 - \omega)t).$$

# Двухуровневая система в лазерном поле



## Эффект Ауслера-Таунса

$$\dot{c}'_1(t) = i/2 \cdot d_{12} E_0 c'_2(t) \exp(-i(E_2 - E_1 - \omega)t);$$

$$\dot{c}'_2(t) = i/2 \cdot d_{21} E_0 c'_1(t) \exp(i(E_2 - E_1 - \omega)t).$$

Введем **частоту Раби и расстройку**

$$\Omega = \sqrt{|d_{12} E_0|^2 + (E_2 - E_1 - \omega)^2}, \quad \Delta = E_2 - E_1 - \omega.$$

Ищем решение в следующем виде

$$\dot{c}'_1(t) = (a_1 \exp(i\Omega t/2) + b_1 \exp(-i\Omega t/2)) \exp(-i\Delta t/2);$$

$$\dot{c}'_2(t) = (a_2 \exp(i\Omega t/2) + b_2 \exp(-i\Omega t/2)) \exp(i\Delta t/2);$$

Решение

$$\dot{c}'_1(t) = \left( c'_1(0) \left\{ \cos(\Omega t/2) + i \frac{\Delta}{\Omega} \sin(\Omega t/2) \right\} + c'_2(0) i \frac{d_{12} E_0}{2\Omega} \sin(\Omega t/2) \right) \exp(-i\Delta t/2);$$

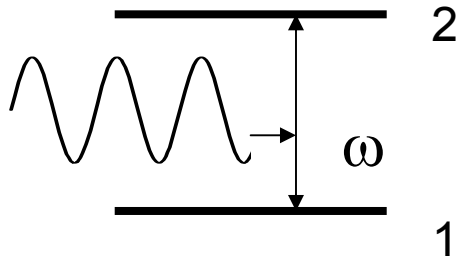
$$\dot{c}'_2(t) = \left( c'_2(0) \left\{ \cos(\Omega t/2) - i \frac{\Delta}{\Omega} \sin(\Omega t/2) \right\} + c'_1(0) i \frac{d_{21} E_0}{2\Omega} \sin(\Omega t/2) \right) \exp(i\Delta t/2);$$

# Двухуровневая система в лазерном поле

## Осцилляции Раби

### частота Раби и расстройка

$$\Omega = \sqrt{|d_{12}E_0|^2 + \Delta^2}, \quad \Delta = E_2 - E_1 - \omega.$$



Решение при начальных условиях  $\dot{c}'_1(0) = 0$ ;  $\dot{c}'_2(0) = 1$ .

$$\dot{c}'_1(t) = c'_2(0)i \frac{d_{12}E_0}{2\Omega} \sin(\Omega t/2) \exp(-i\Delta t/2);$$

$$\dot{c}'_2(t) = c'_2(0) \left\{ \cos(\Omega t/2) - i \frac{\Delta}{\Omega} \sin(\Omega t/2) \right\} \exp(i\Delta t/2);$$

### Инверсия заселенности и индуцированный момент

$$W(t) = |\dot{c}'_2(t)|^2 - |\dot{c}'_1(t)|^2 = \left( \frac{\Delta^2 - |d_{12}E_0/2|^2}{\Omega^2} \right) \sin^2(\Omega t/2) + \cos^2(\Omega t/2);$$

$$P(t) = c_1^* c_2 d_{12} + \text{к.с.} = c_1'^* c'_2 d_{12} \exp(-i(E_2 - E_1)t) + \text{к.с.} =$$

$$2 \operatorname{Re} \left( \frac{id_{12}E_0}{2\Omega} d_{12} \left( \cos(\Omega t/2) + i \frac{\Delta}{\Omega} \sin(\Omega t/2) \right) \sin(\Omega t/2) \exp(i\omega t) \right)$$

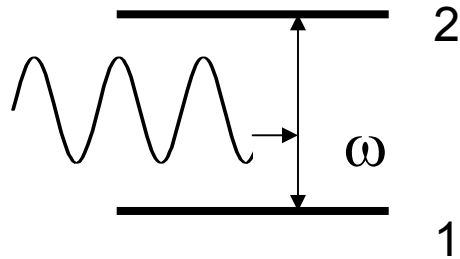
# Двухуровневая система в лазерном поле

## Осцилляции Раби

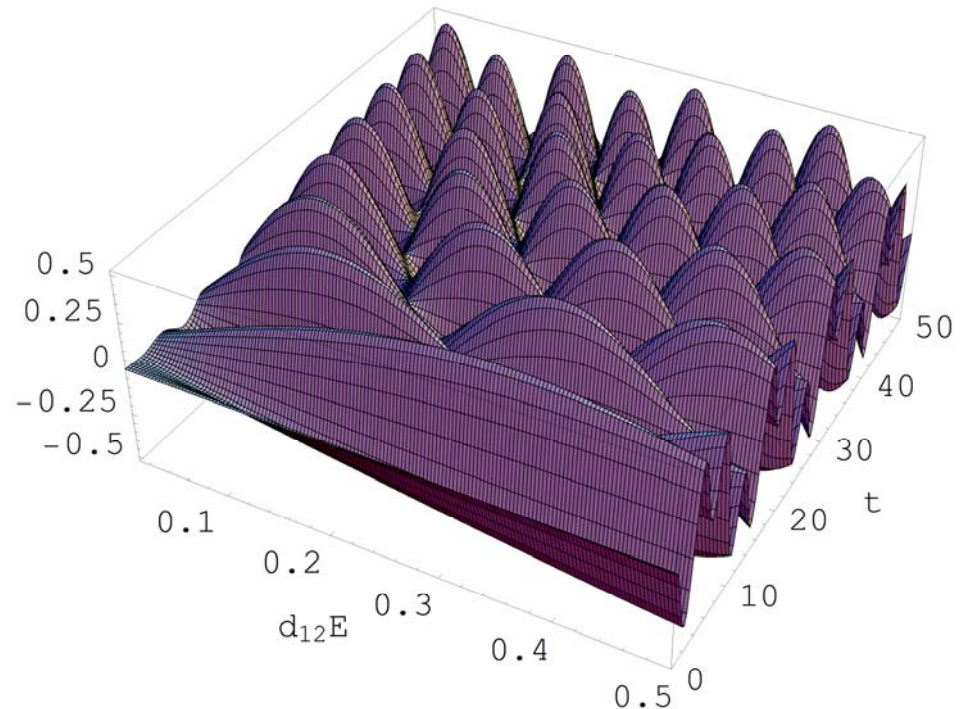
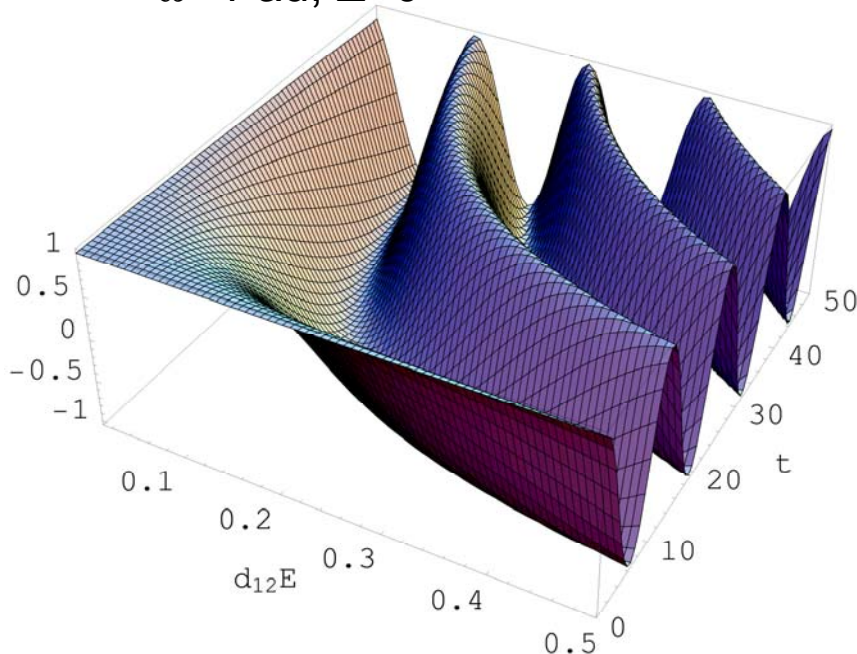
частота Раби и расстройка

$$\Omega = \sqrt{|d_{12}E_0|^2 + \Delta^2}, \quad \Delta = E_2 - E_1 - \omega.$$

Инверсия заселенности и индуцированный момент



$\omega=1$  а.е.,  $\Delta=0$



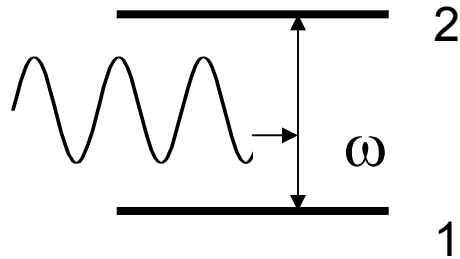
# Двухуровневая система в лазерном поле

## Осцилляции Раби

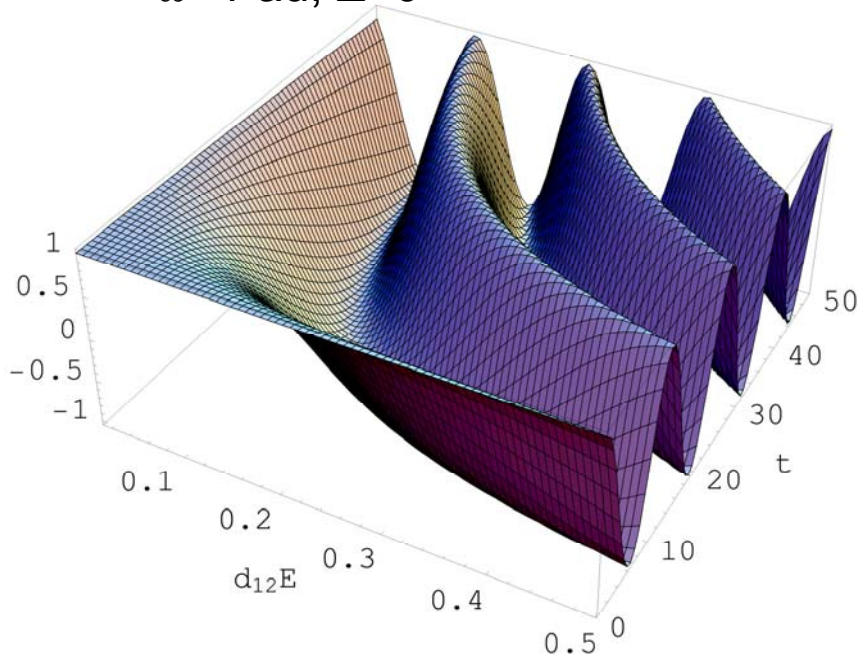
частота Раби и расстройка

$$\Omega = \sqrt{|d_{12}E_0|^2 + \Delta^2}, \quad \Delta = E_2 - E_1 - \omega.$$

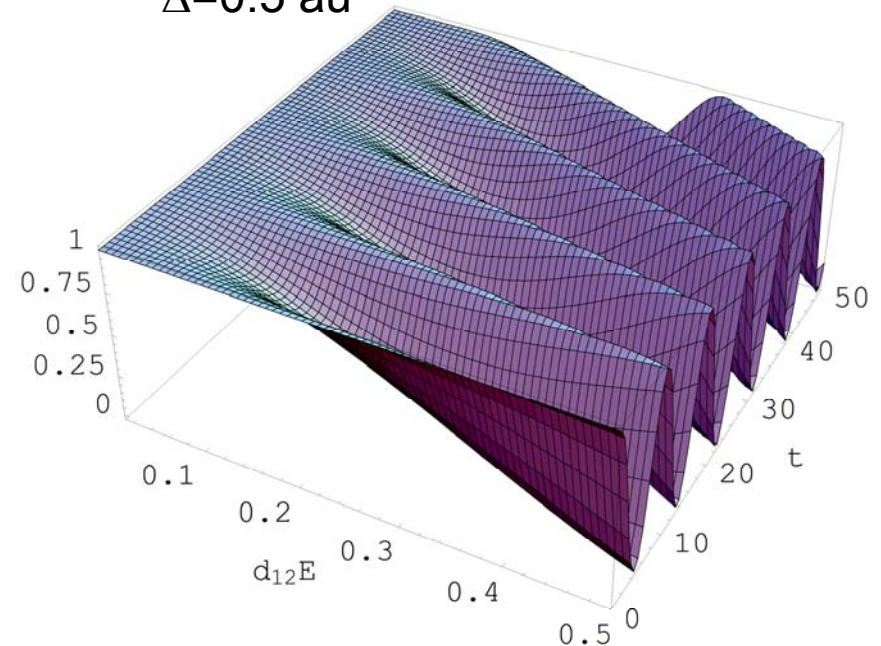
Инверсия заселенности и индуцированный момент



$\omega=1$  au,  $\Delta=0$



$\Delta=0.5$  au



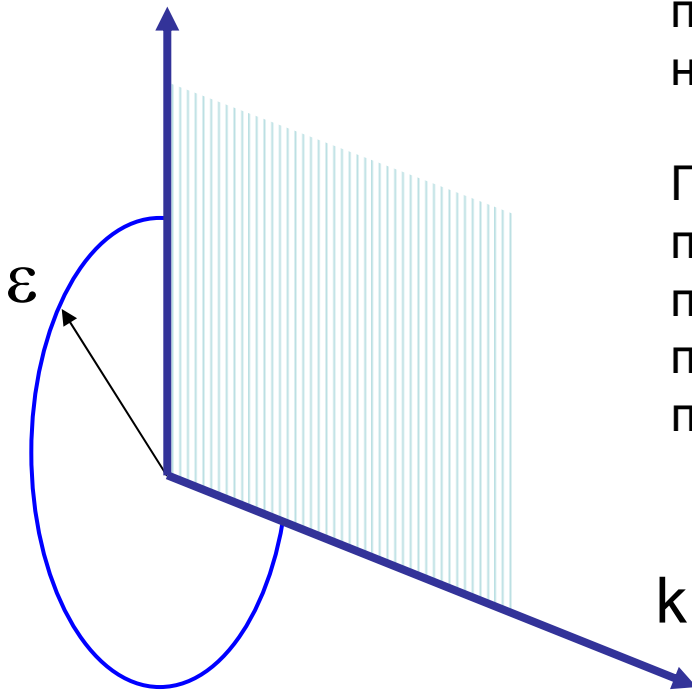


# Поворот плоскости поляризации

## Плоскость поляризации

Плоскостью поляризации линейно поляризованного поля называется плоскость, проходящая через вектор поляризации поля и направление распространения поля.

Плоскостью поляризации эллиптически поляризованного поля называется плоскость, проходящая через большую ось эллипса поляризации и направление распространения поля.



# Поворот плоскости поляризации

## Характеристики поляризации электромагнитного поля

Вектор напряженности полностью поляризованного электромагнитного поля в общем случае представляется в виде:

$$\vec{E}_\Omega = E_\Omega \{ \cos(\theta - \pi/4) \exp(i\varphi) \hat{e}_+ + \cos(\theta + \pi/4) \exp(-i\varphi) \hat{e}_- \}$$

$$e_\pm = \mp \frac{e_x \pm i e_y}{\sqrt{2}}$$

$$\begin{aligned} |E|^2 &= \left| \vec{E}_\Omega \exp(i(\omega t - kz)) + \kappa.c \right|^2 = \left| (\vec{E}_\Omega \exp(i(\omega t - kz)) + \vec{E}_\Omega^* \exp(-i(\omega t - kz))) \right|^2 = \\ &= \left| \vec{E}_\Omega \right|^2 + \left| \vec{E}_\Omega^* \right|^2 + \vec{E}_\Omega \vec{E}_\Omega^* (\exp(2i(\omega t - kz)) + \exp(-2i(\omega t - kz))) = \\ &= \frac{E_\Omega^2}{2} \{ 1 - \cos(2\theta) \cos(2(\omega t - kz)) \} \end{aligned}$$

$$e_+^* = -e_-;$$

$$(e_+ e_-) = -1; \quad (e_+ e_+) = (e_- e_-) = 0;$$

# Поворот плоскости поляризации

## Степень эллиптичности и угол наклона эллипса поляризации

Ось  $z$  выбрана вдоль направления распространения поля.

$$|E|^2 = |E_\Omega \exp(i(\omega t - kz)) + \kappa.c|^2 = \frac{E_\Omega^2}{2} \{1 - \cos(2\theta) \cos(2(\omega t - kz))\}$$

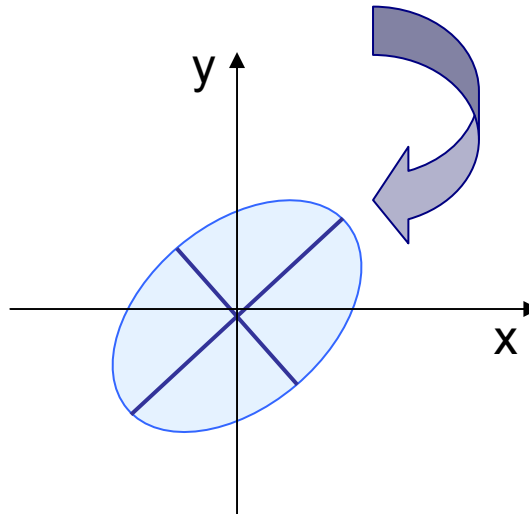
Параметры  $\theta$ ,  $\varphi$  определяют эллипс поляризации поля.

$\operatorname{tg}(\theta)$  определяет отношение главных полуосей эллипса поляризации

Угол  $\varphi$  характеризует наклон эллипса поляризации:

$$\sin(\theta)(\hat{e}_x \cos \varphi - \hat{e}_y \sin \varphi)$$

$$e_\pm = \mp \frac{e_x \pm i e_y}{\sqrt{2}}$$



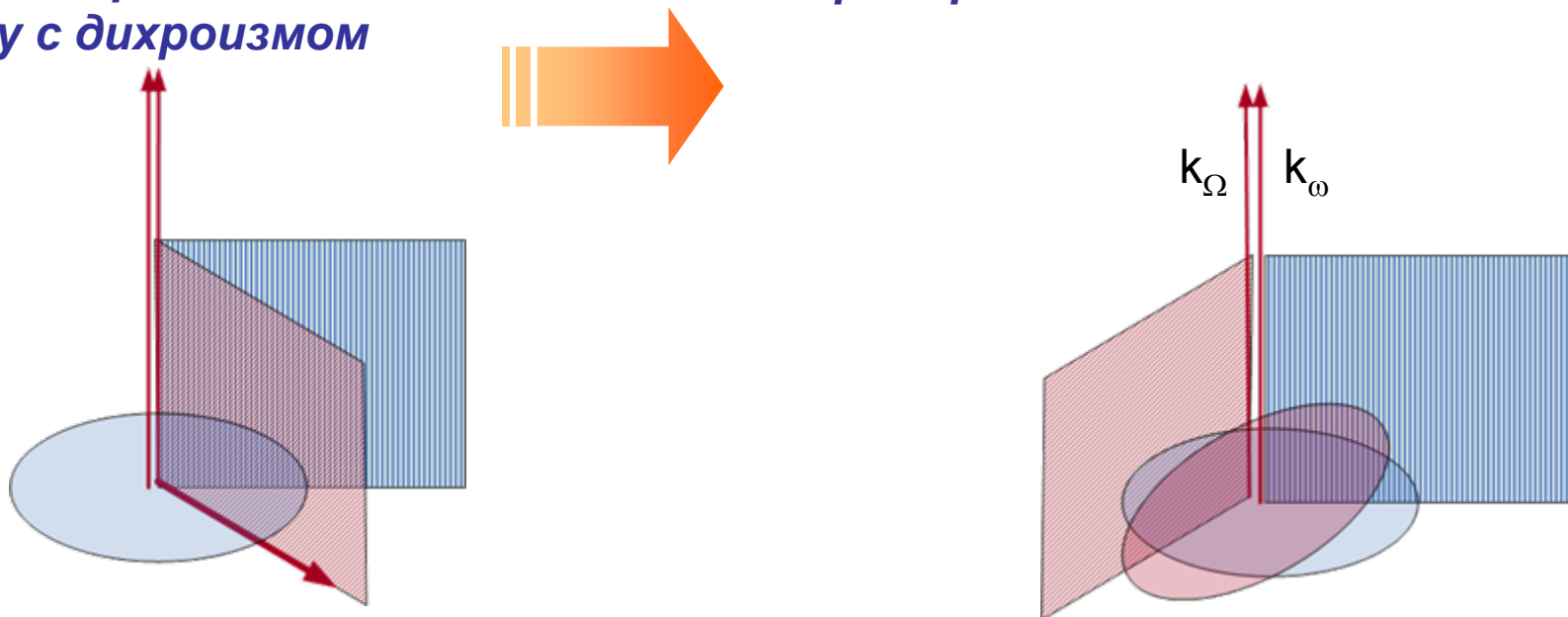
# Дихроизм

Циркулярный дихроизм это разница между коэффициентами отражения для право и лево поляризованной компоненты электромагнитного поля



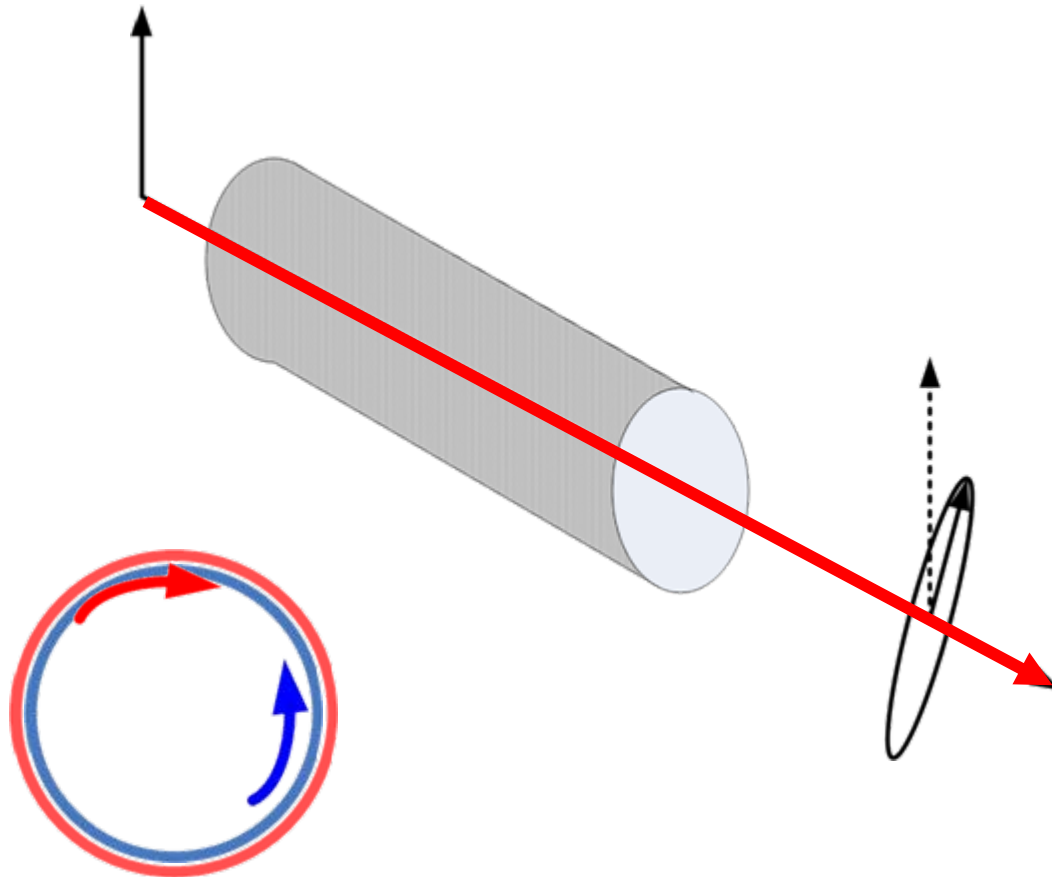
Пробное поле проходит  
через среду с дихроизмом  
( $\Delta n = n_+ - n_-$ )

Вращение поляризации,  
приобретение эллиптичности



# Первые наблюдения кругового дихроизма в естественно хиральных средах

В средах, обладающих разным показателем преломления относительно право и лево поляризованных компонент света, наблюдается эффект **двойного лучепреломления**.



Jean-Baptiste Biot  
(1774-1862)



François Arago  
(1786-1853)

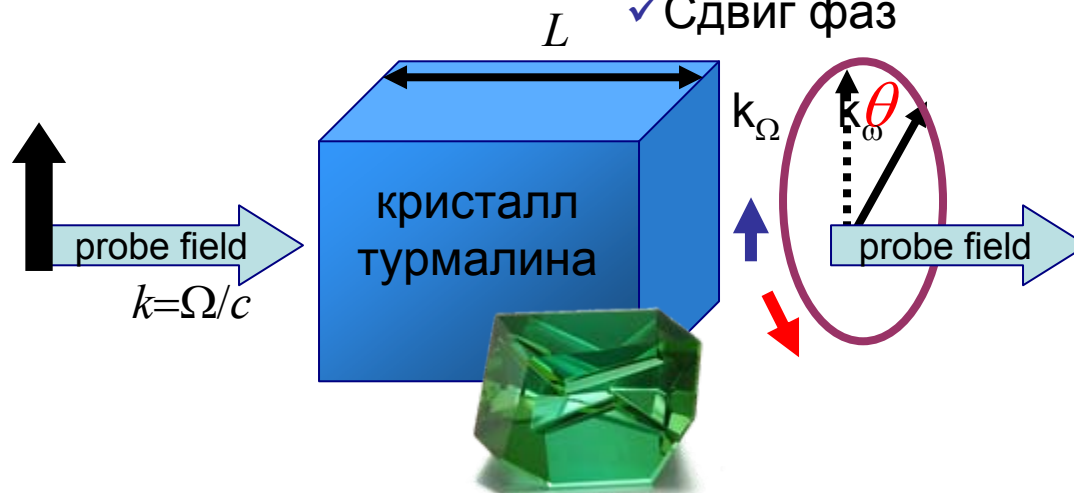
# Дихроизм

## Линейно поляризованный свет:

- ✓ Циркулярные компоненты равны
- ✓ Фазы совпадают

## Эллиптически поляризованный свет:

- ✓ Различные циркулярные компоненты
- ✓ Сдвиг фаз



Пробное поле проходит  
через среду с дихроизмом  
( $\Delta n = n_+ - n_-$ )

## Вращение поляризации

$\theta$  – угол вращения  $\varepsilon_\Omega$

$\varepsilon$  – приобретаемая эллиптичность

$$\varepsilon = k \operatorname{Im}(\Delta n) L / 4$$

$$\theta = k \operatorname{Re}(\Delta n) L / 4$$

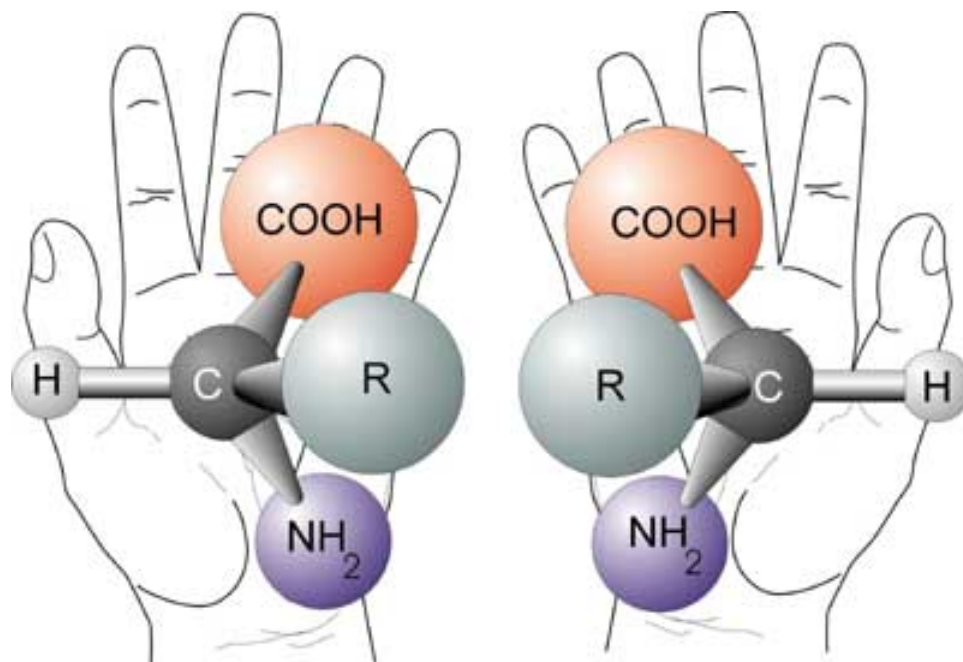
# Хиральность

Молекула называется **хиральной** если ее зеркальное отражение невозможно совместить с исходной молекулой вращениями и сдвигами. Происходит от греческого  $\chi\epsilon\rho$  – рука.



**Louis Pasteur**  
**1822-1895**

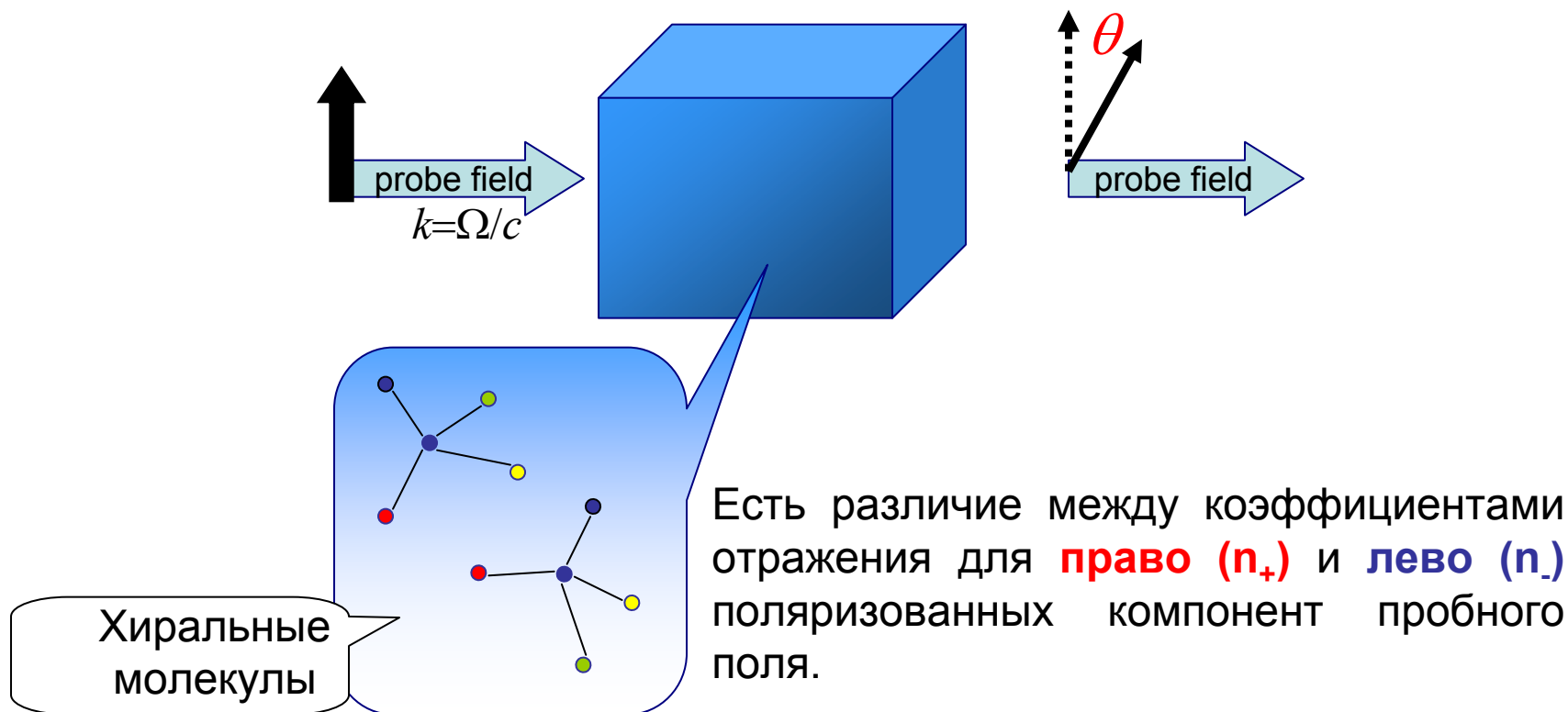
Разделил раствор виноградной кислоты  $C_4H_5O_6Na$  на два хиральных раствора



**Хиральность молекул крайне важна для биологии и органической химии.**

# Естественный дихроизм

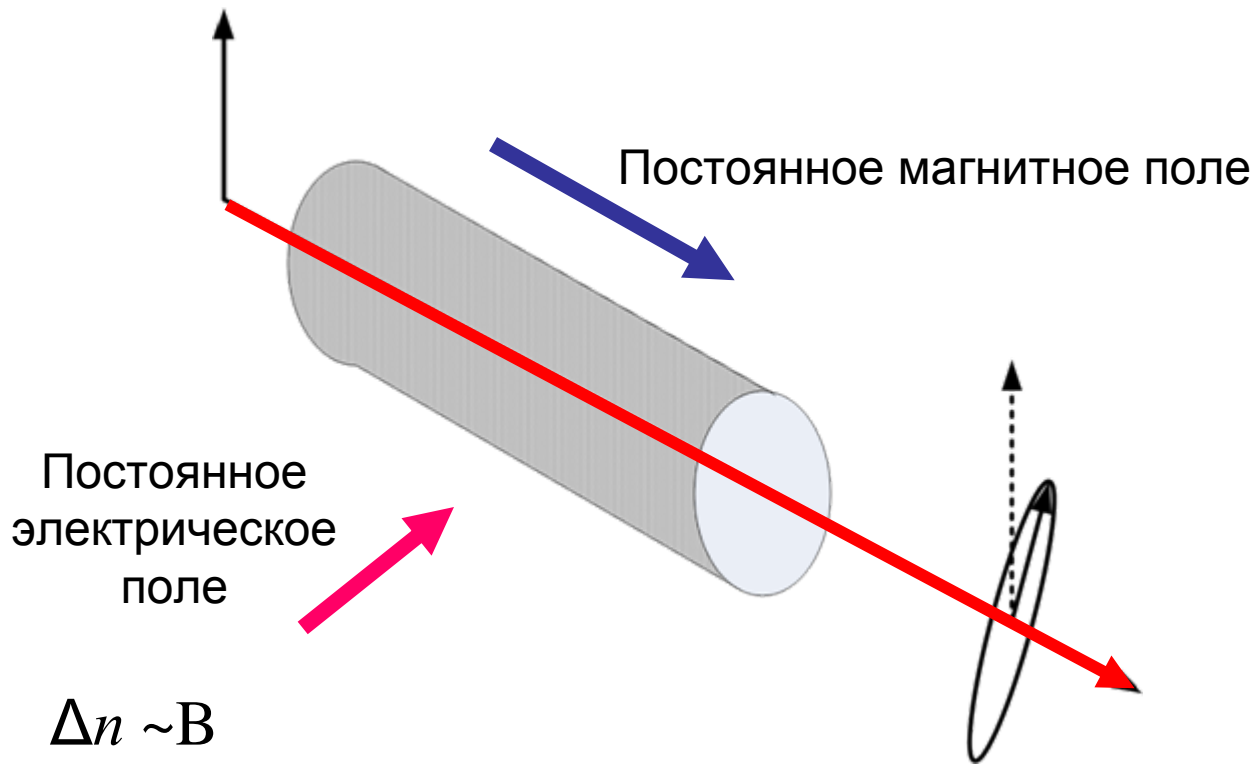
Естественный дихроизм это результат хиральности молекул среды





# Первые наблюдение кругового дихроизма в индуцировано хиральных средах

В среде можно индуцировать разность показателей преломления относительно право и лево поляризованных компонент света магнитным или электрическим полем: **эффект Фарадея и эффект Керра.**



$$\Delta n \sim B$$

$$\Delta n \sim E^2$$

**Магнито-оптический  
и электро-оптический дихроизм**



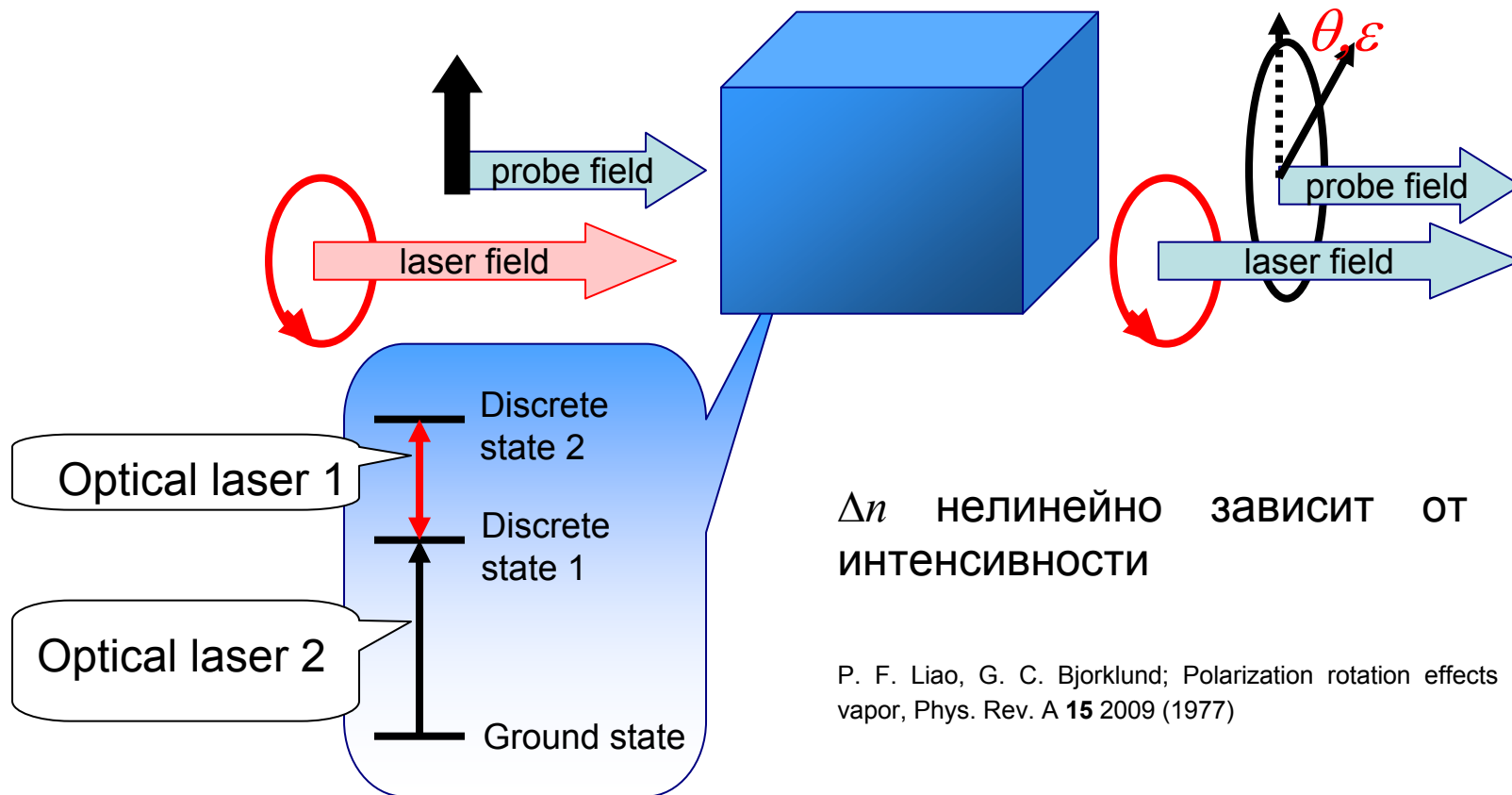
Michael Faraday  
(1791-1867)



John Kerr  
(1824-1907)

# Лазерно-индуцированный дихроизм в оптическом диапазоне

Лазерно-индуцированный дихроизм возникает как результат  
оптической связи дискретных состояний



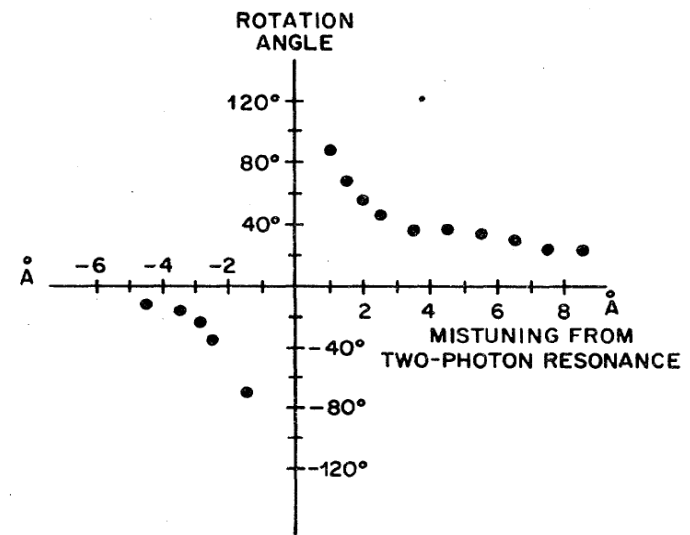
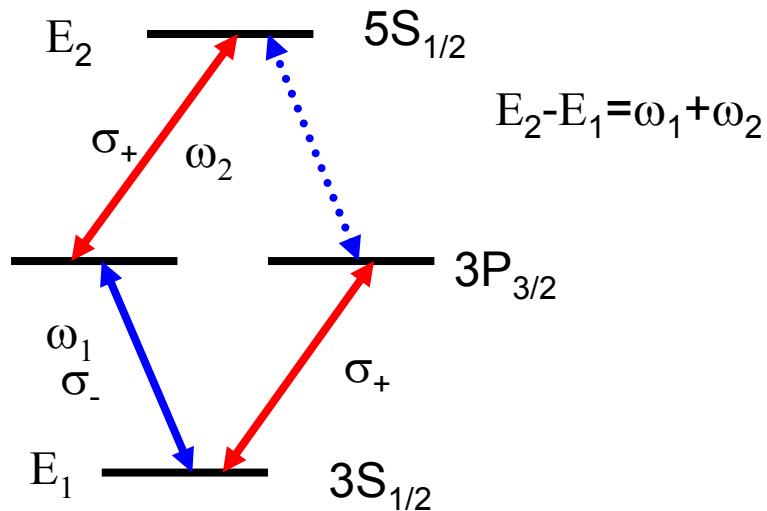
$\Delta n$  нелинейно зависит от лазерной  
ИНТЕНСИВНОСТИ

P. F. Liao, G. C. Bjorklund; Polarization rotation effects in atomic sodium  
vapor, Phys. Rev. A **15** 2009 (1977)

# Лазерно индуцированный дихроизм в среде

Первые наблюдения лазерно индуцированного дихроизма в дискретном спектре атома.

## Атом натрия Na



$$N \sim 3 \cdot 10^{14} \text{ cm}^{-3}, L \sim 5 \text{ cm}$$

P. F. Liao and G. C. Bjorklund, Phys. Rev. A, 15 2009 (1977).

V. M. Arutyunyan, T. A. Papazyan, G. G. Adonts, A. V. Karmenyan, S. P. Ishkhanyan, and L. Khol'ts, JETP **41**, 22 (1976) (Калий).

# Поляризационные характеристики поля в среде с циркулярным дихроизмом

$$\vec{E}_\Omega = E_\Omega \left\{ \cos\left(\theta - \frac{\pi}{4}\right) \exp(i\varphi) \hat{e}_+ + \cos\left(\theta + \frac{\pi}{4}\right) \exp(-i\varphi) \hat{e}_- \right\}$$

Плоская линейно поляризованная волна с частотой  $\Omega$  в вакууме распространяется вдоль оси  $z$ :

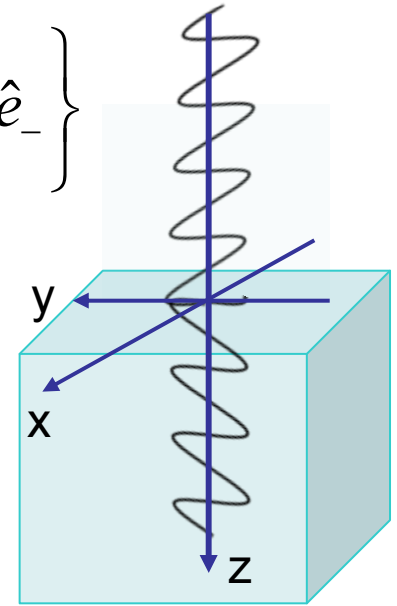
$$\vec{E}_\Omega = \frac{E_1}{\sqrt{2}} (-\hat{e}_+ + \hat{e}_-) \exp(i\Omega t - ikz)$$

После прохождения пути  $L$  в среде с дихроизмом:

$$\vec{E}'_\Omega = \frac{E_1}{\sqrt{2}} \{-\hat{e}_+ \exp(i\Omega t - ik_+ L) + \hat{e}_- \exp(i\Omega t - ik_- L)\} =$$

$$\frac{E_1}{\sqrt{2}} \exp\left(i\Omega t - i\frac{k_+ + k_-}{2} L\right) \left\{ -\hat{e}_+ \exp\left(i\frac{\Delta k L}{2}\right) + \hat{e}_- \exp\left(-i\frac{\Delta k L}{2}\right) \right\}$$

Где  $\Delta k = k_- - k_+$



# Поляризационные характеристики поля в среде с циркулярным дихроизмом

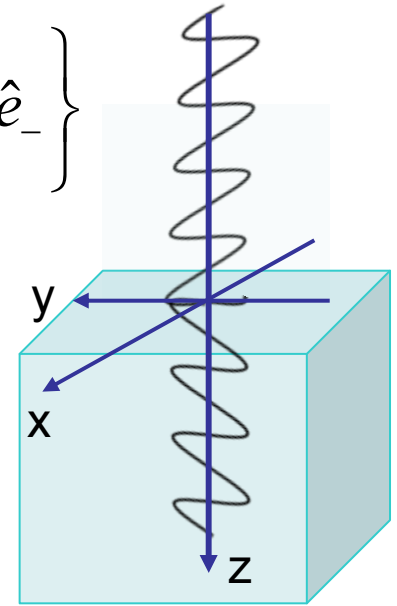
$$\vec{E}_\Omega = E_\Omega \left\{ \cos\left(\theta - \frac{\pi}{4}\right) \exp(i\varphi) \hat{e}_+ + \cos\left(\theta + \frac{\pi}{4}\right) \exp(-i\varphi) \hat{e}_- \right\}$$

Плоская линейно поляризованная волна с частотой  $\Omega$  в вакууме распространяется вдоль оси  $z$ :

$$\vec{E}_\Omega = \frac{E_1}{\sqrt{2}} (-\hat{e}_+ + \hat{e}_-) \exp(i\Omega t - ikz)$$

После прохождения пути  $L$  в среде с дихроизмом:

$$\vec{E}'_\Omega = \frac{E_1}{\sqrt{2}} \exp\left(i\Omega t - i\frac{k_+ + k_-}{2} L\right) \left\{ -\hat{e}_+ \exp\left(i\frac{\Delta k L}{2}\right) + \hat{e}_- \exp\left(-i\frac{\Delta k L}{2}\right) \right\}$$



Поляризационные характеристики поля  $\Omega$  в среде в точке  $z=L$ :

$$\varphi' = \frac{\text{Re } \Delta k}{2} L, \quad \text{tg } \theta' = \frac{\exp(L \text{Im } \Delta k) - 1}{\exp(L \text{Im } \Delta k) + 1} = \frac{\text{Im } \Delta k}{2} L \quad \text{Где } \Delta k = k_- - k_+$$

# Изменение поляризационных характеристик поля в среде со слабой нелинейностью

В общем виде волновой вектор в среде связан с волновым вектором в вакууме и нелинейной восприимчивостью соотношением:

$$k'^2 = (1 + N\chi)k^2$$

Если нелинейная восприимчивость среды мала ( $N\chi \ll 1$ ), то:

$$k' - k \approx \frac{N\chi k}{2} \Rightarrow \begin{cases} \operatorname{Re} \Delta k \approx \operatorname{Re}(\chi_- - \chi_+) \frac{k}{2} = \frac{\Omega N}{2c} \operatorname{Re}(\chi_- - \chi_+) \\ \operatorname{Im} \Delta k \approx \operatorname{Im}(\chi_- - \chi_+) \frac{k}{2} = \frac{\Omega N}{2c} \operatorname{Im}(\chi_- - \chi_+) \end{cases}$$

Тогда поворот плоскости поляризации:

$$\varphi' = \frac{\operatorname{Re} \Delta k}{2} L = \frac{\Omega L N}{4c} \operatorname{Re}(\chi_- - \chi_+)$$

$$\varepsilon = \frac{\operatorname{Im} \Delta k}{2} L = \frac{\Omega L N}{4c} \operatorname{Im}(\chi_- - \chi_+)$$

# Отклик нелинейной среды на электромагнитное излучение

Уравнения Максвелла:

$$\operatorname{div} \vec{D} = \rho;$$

$$\operatorname{div} \vec{B} = 0;$$

$$\operatorname{grad} \vec{E} = -\frac{\partial \vec{B}}{\partial t};$$

$$\operatorname{grad} \vec{H} = \vec{J} + \frac{\partial \vec{D}}{\partial t};$$

$$\vec{D} = \varepsilon_0 \vec{H} + \vec{P}; \quad \vec{B} = \mu_0 \vec{H}; \quad \vec{J} = \sigma \vec{E}.$$

Если пренебречь высшими гармониками, то отклик среды:

$$P(z, t) = \frac{1}{2} \rho(z, t) \exp(-i(\Omega t - kz)) + \text{э.с.}$$

Поляризации среды на определенной частоте – это среднее значение дипольного момента, индуцированного на этой частоте:

# Отклик нелинейной среды на электромагнитное излучение

Поляризация среды зависит от напряженностью поля, ее вызывающего, во все предшествующие моменты времени:

$$P(z, t) = \varepsilon_0 \int_0^{\infty} \chi(\tau) E(z, t - \tau) d\tau$$

Если:  $E(z, t) = \frac{1}{2} E_0 \exp(-i(\Omega t - kz)) + \text{э.с.}$

То:  $P(z, t) = \frac{\varepsilon_0 E_0}{2} (\chi(\Omega) \exp(-i(\Omega t - kz)) + \chi(-\Omega) \exp(i(\Omega t - kz)))$

Где  $\chi(\Omega)$  – фурье-образ нелинейной восприимчивости среды.

Тогда комплексная поляризация среды  $\rho(z, t)$  на определенной частоте связана с напряженностью поля :

$$\rho(z, t) = \varepsilon_0 E_1 \chi(\Omega)$$



# Индукцированная прозрачность в $\lambda$ -системе

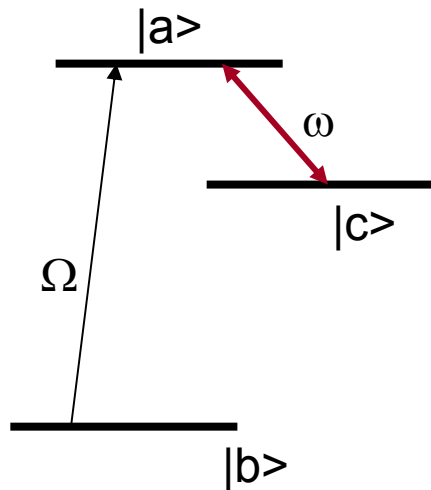
Поляризации среды на определенной частоте – это среднее значение дипольного момента, индуцированного на этой частоте:

$$P = \text{Tr}(\rho d)$$

Гамильтониан системы:  $\hat{H} = \hat{H}_0 + \hat{H}_1$

$$\hat{H}_0 = E_a |a\rangle\langle a| + E_b |b\rangle\langle b| + E_c |c\rangle\langle c|$$

$$\hat{H}_1 = -\frac{1}{2} (d_{ab} E_\Omega \exp(-i\Omega t) + d_{ac} E_\omega \exp(-i\omega t) + \text{э.с.})$$



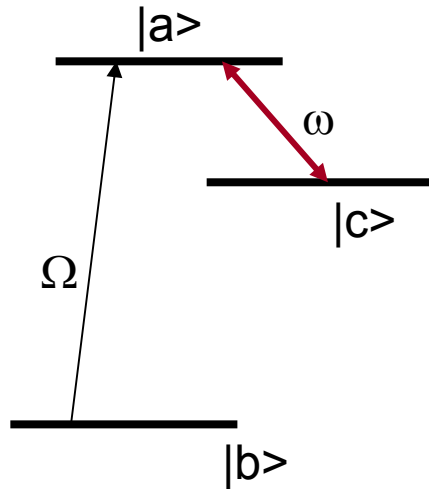
уравнение Лиувилля :  $\dot{\rho} = -i[\hat{H}, \rho]$

В первом порядке теории возмущений по  $E_\Omega$ :

$$\dot{\rho}_{ab} = -i(E_a - i\gamma_{ab})\rho_{ab} + i\frac{d_{ab}E_\Omega}{2}\exp(-i\Omega t)\rho_{bb} + i\frac{d_{ac}E_\omega}{2}\exp(-i\omega t)\rho_{cb};$$

$$\dot{\rho}_{cb} = -i(E_c - i\gamma_{cb})\rho_{cb} + i\frac{d_{ca}E_\omega}{2}\exp(i\omega t)\rho_{ab}$$

# Индукцированная прозрачность в $\lambda$ -системе



Сделаем замены

$$\tilde{\rho}_{ab} = \rho_{ab} \cdot \exp(-i\Omega t); \quad \tilde{\rho}_{cb} = \rho_{cb} \cdot \exp(i(\omega - \Omega)t)$$

получаем

$$\dot{\tilde{\rho}}_{ab} = -(\gamma_{ab} + i\Delta)\tilde{\rho}_{ab} + i\frac{d_{ab}E_{\Omega}}{2}\tilde{\rho}_{bb} + i\frac{d_{ac}E_{\omega}}{2}\tilde{\rho}_{cb};$$

$$\dot{\tilde{\rho}}_{cb} = -(\gamma_{cb} + i\Delta - i\delta)\tilde{\rho}_{cb} + i\frac{d_{ca}E_{\omega}}{2}\tilde{\rho}_{ab}$$

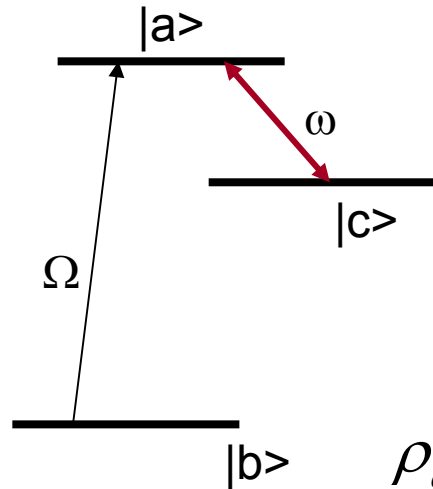
$$\text{Где } \Delta = E_a - E_b - \Omega, \quad \Omega_{\mu} = d_{ac}E_{\omega}, \quad \delta = E_a - E_b - \omega$$

Решение уравнения вида:

$$\dot{R} = -M \cdot R + A \quad \longrightarrow \quad R = M^{-1} \cdot A$$

$$R = \begin{bmatrix} \tilde{\rho}_{ab} \\ \tilde{\rho}_{cb} \end{bmatrix}; \quad M = \begin{bmatrix} \gamma_{ab} + i\Delta & -id_{ac}E_{\omega}/2 \\ -id_{ca}E_{\omega}/2 & \gamma_{cb} + i\Delta - i\delta \end{bmatrix}; \quad A = \begin{bmatrix} id_{ab}E_{\Omega}/2 \\ 0 \end{bmatrix}.$$

# Индукцированная прозрачность в $\lambda$ -системе



Решение уравнения, осциллирующее на частоте падающего поля

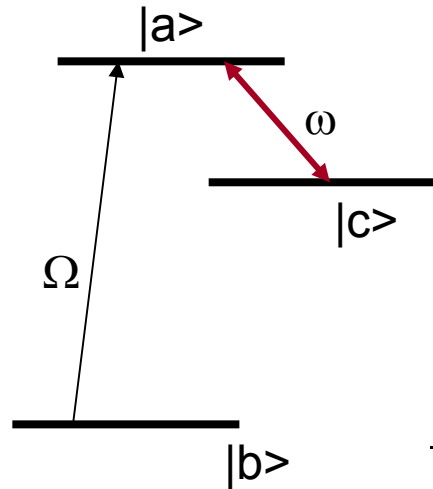
$$\begin{bmatrix} \tilde{\rho}_{ab} \\ \tilde{\rho}_{cb} \end{bmatrix} = \begin{bmatrix} \gamma_{ab} + i\Delta & -id_{ac}E_{\omega}/2 \\ -id_{ca}E_{\omega}/2 & \gamma_{cb} + i\Delta - i\delta \end{bmatrix}^{-1} \begin{bmatrix} id_{ab}E_{\Omega}/2 \\ 0 \end{bmatrix}.$$

$$\rho_{ab}(t, \omega, \Omega) = \frac{id_{ab}(\gamma_{bc} + i\Delta - i\delta)\exp(-i\Omega t)}{2((\gamma_{ab} + i\Delta)(\gamma_{bc} + i\Delta - i\delta) + \Omega_{\mu}^2/4)} E_0$$

Нелинейная восприимчивость, выражается через поляризацию:

$$\begin{aligned} \chi(\Omega) &= \frac{\rho(z, t)}{E_{\Omega}} = N \frac{\rho_{ab} d_{ba} \exp(i\Omega t)}{E_{\Omega}} \\ &= \frac{iN |d_{ab}|^2 (\gamma_{bc} + i\Delta - i\delta)}{2((\Delta - i\gamma_{ab})(\Delta - \delta - i\gamma_{bc}) - \Omega_{\mu}^2/4)} \end{aligned} \quad \longrightarrow \quad \frac{iN |d_{ab}|^2 (\gamma_{bc} + i\Delta)}{2((\Delta - i\gamma_{ab})(\Delta - i\gamma_{bc}) - \Omega_{\mu}^2/4)}$$

# Индукцированная прозрачность в $\lambda$ -системе



Решение уравнения, осциллирующее на частоте падающего поля

$$\frac{iN|d_{ab}|^2(\gamma_{bc} + i\Delta)}{2(\Delta^2 - \gamma_{ab}\gamma_{bc} - \Omega_\mu^2/4 - i\Delta(\gamma_{ab} + \gamma_{bc}))}$$

➔

$$- \frac{N|d_{ab}|^2(\Delta - i\gamma_{bc})}{2\sqrt{\Omega_\mu^2 - (\gamma_{ab} - \gamma_{bc})^2}} \left( \frac{1}{\Delta - \Delta_r^{(1)}} - \frac{1}{\Delta - \Delta_r^{(2)}} \right)$$

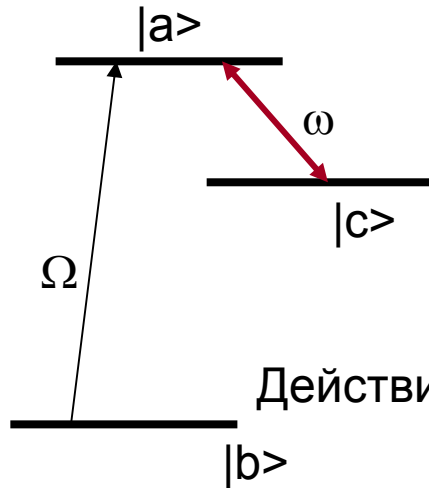
$$\Delta_r = \frac{i(\gamma_{ab} + \gamma_{bc}) \pm \sqrt{\Omega_\mu^2 - (\gamma_{ab} - \gamma_{bc})^2}}{2} \rightarrow \frac{i(\gamma_{ab} + \gamma_{bc}) \pm \Omega_\mu}{2}$$

Действительная и мнимая части нелинейной восприимчивости:

$$- \frac{N|d_{ab}|^2 \Delta(\Delta^2 - \gamma_{ab}\gamma_{bc} - \Omega_\mu^2/4 + (\gamma_{ab} + \gamma_{bc})\gamma_{bc})}{2((\Delta^2 - \gamma_{ab}\gamma_{bc} - \Omega_\mu^2/4)^2 + \Delta^2(\gamma_{ab} + \gamma_{bc})^2)} +$$

$$i \frac{N|d_{ab}|^2(\gamma_{bc}(\Delta^2 - \gamma_{ab}\gamma_{bc} - \Omega_\mu^2/4) - \Delta^2(\gamma_{ab} + \gamma_{bc}))}{2((\Delta^2 - \gamma_{ab}\gamma_{bc} - \Omega_\mu^2/4)^2 + \Delta^2(\gamma_{ab} + \gamma_{bc})^2)}$$

# Индукцированная прозрачность в $\lambda$ -системе



Действительная и мнимая части нелинейной восприимчивости:

$$\begin{aligned}
 & -\frac{N|d_{ab}|^2 \Delta (\Delta^2 - \gamma_{ab}\gamma_{bc} - \Omega_\mu^2/4 + (\gamma_{ab} + \gamma_{bc})\gamma_{bc})}{2\left((\Delta^2 - \gamma_{ab}\gamma_{bc} - \Omega_\mu^2/4)^2 + \Delta^2(\gamma_{ab} + \gamma_{bc})^2\right)} + \quad \longrightarrow \quad -\frac{N|d_{ab}|^2 \Delta}{2(\Delta^2 + \gamma_{ab}^2)} \\
 & i\frac{N|d_{ab}|^2 (\gamma_{bc}(\Delta^2 - \gamma_{ab}\gamma_{bc} - \Omega_\mu^2/4) - \Delta^2(\gamma_{ab} + \gamma_{bc}))}{2\left((\Delta^2 - \gamma_{ab}\gamma_{bc} - \Omega_\mu^2/4)^2 + \Delta^2(\gamma_{ab} + \gamma_{bc})^2\right)} \quad \longrightarrow \quad -i\frac{N|d_{ab}|^2 \gamma_{ab}}{2(\Delta^2 + \gamma_{ab}^2)}
 \end{aligned}$$

Слабое поле - обычное  
резонансное поглощение

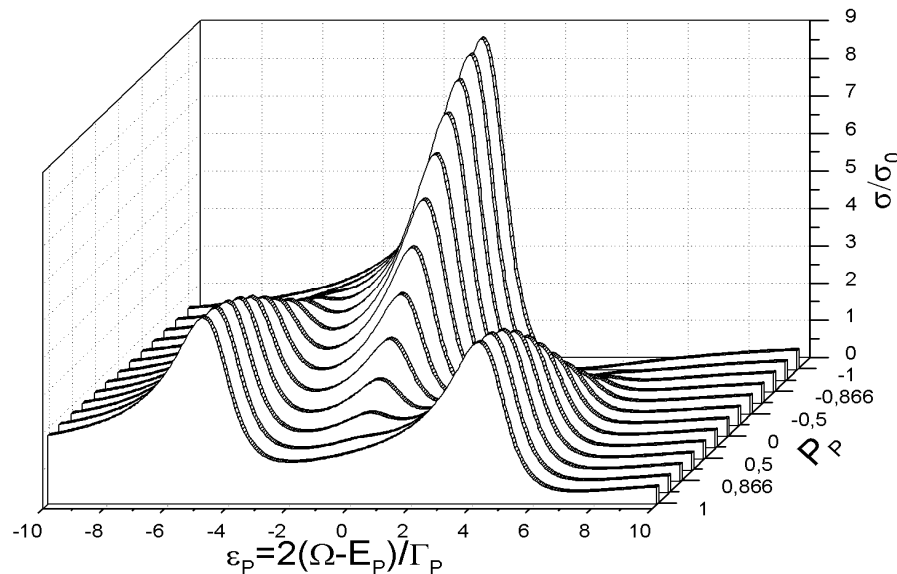
$$-i\frac{N|d_{ab}|^2 \gamma_{bc}}{2(\gamma_{ab}\gamma_{bc} + \Omega_\mu^2/4)}$$

Лазерно-индуцированная прозрачность

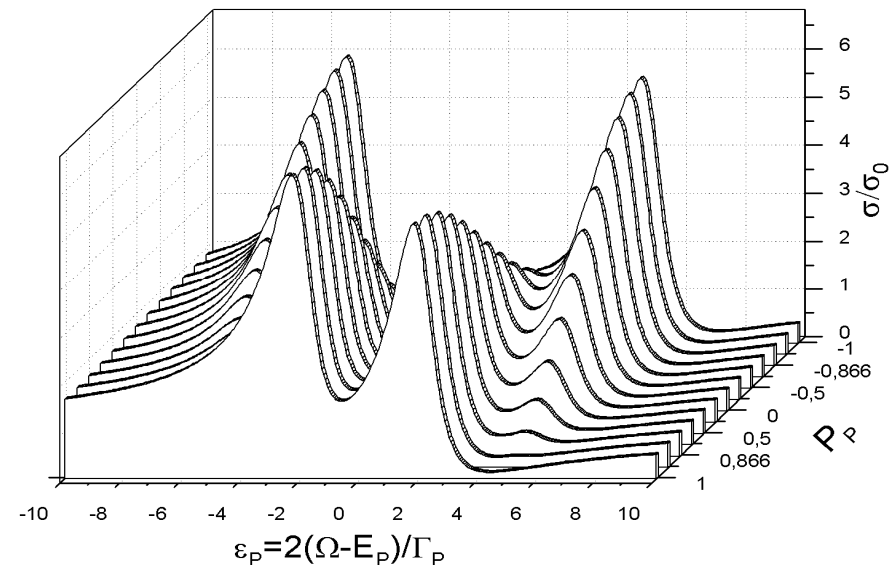
# Сечение фотоионизации атома гелия в окрестности резонансно связанных АИС

$2s2p^1P$  и  $АИС_2$ , связаны лазерным полем с  $\delta = \omega - E_2 + E_1 = 0$ . Лазерное поле право поляризовано. Поляризация пробного меняется от правой до левой. Интенсивность лазерного поля  $I = 4 \cdot 10^{-6}$  а.е.

$АИС_2 = 2s^2\ ^1S$

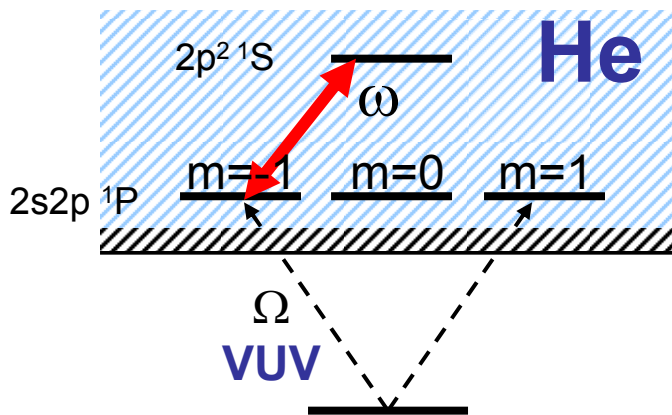
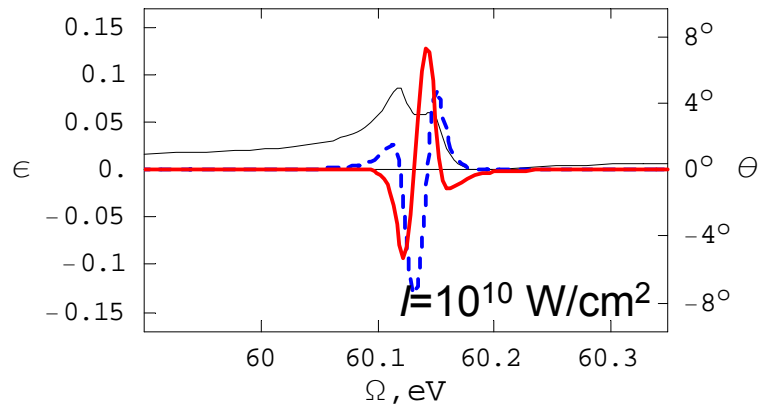
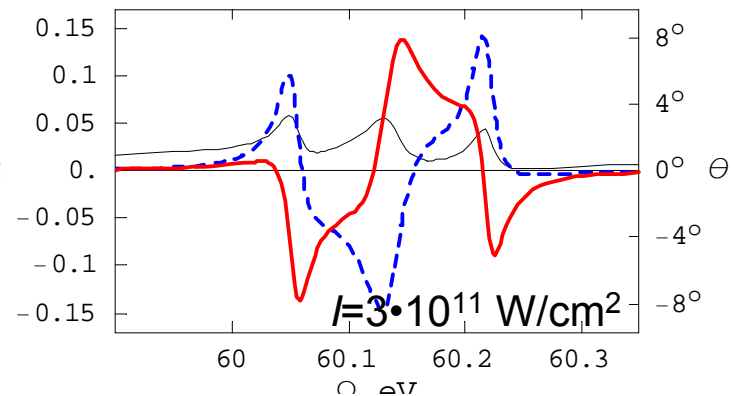
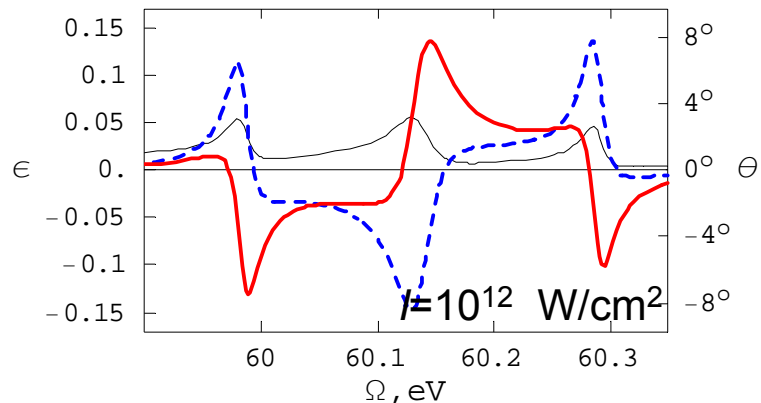
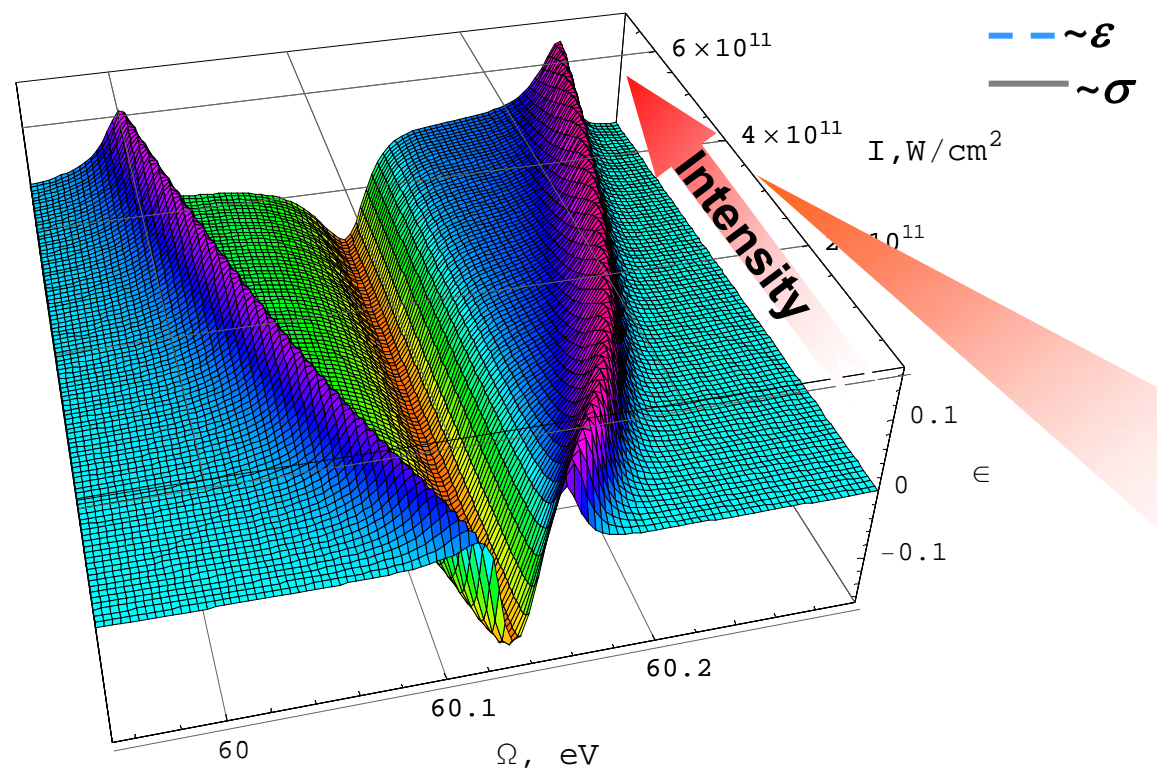


$АИС_2 = 2s3d\ ^1D$



# NUMERICAL RESULTS

$$\Delta=0, NL=5 \cdot 10^{16} \text{ cm}^{-2}$$

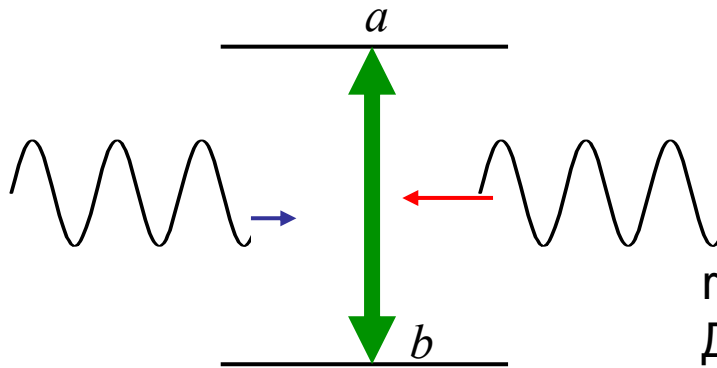


# Лазерное охлаждение

$\bar{p}He^+$

$\sim v \sqrt{8k_B T \log(2)/Mc^2}$ ; - Доплеровская ширина

## Лазерное охлаждение



Сила, действующая на атом при поглощении фотона

$$\vec{F} = r\vec{k} = \Gamma_a \rho_{aa} \vec{k}$$

$r$  – суммарная скорость излучательного перехода.  
Для неподвижного двухуровневого атома скорость излучения зависит от заселенности верхнего состояния  $\rho_{aa}$  и его ширины  $\Gamma_a$ .

$$\dot{\rho}_{ab} = -\left(\frac{\Gamma}{2} + i\Delta\right)\tilde{\rho}_{ab} + i\Omega_R \rho_{aa} - i\frac{\Omega_R}{2};$$

$$\dot{\rho}_{aa} = -\Gamma \rho_{aa} + i\frac{\Omega_R}{2}(\rho_{ab} - \rho_{ba});$$

$$\dot{\rho}_{ba} = -\left(\frac{\Gamma}{2} - i\Delta\right)\tilde{\rho}_{ba} - i\Omega_R \rho_{aa} + i\frac{\Omega_R}{2}.$$

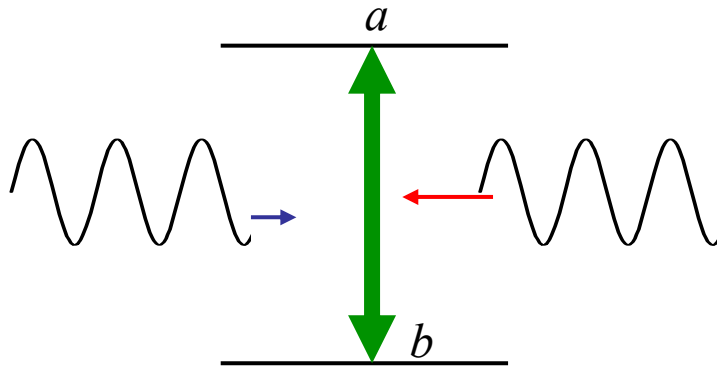


# Лазерное охлаждение

$\bar{p}He^+$

$\sim v \sqrt{8\tilde{k}_B T \log(2)/Mc^2}$ ; - Доплеровская ширина

## Лазерное охлаждение



Сила, действующая на атом при поглощении фотона

$$\vec{F} = r\vec{k} = \Gamma_a \rho_{aa} \vec{k}$$

$$\dot{\rho}_{ab} = -\left(\frac{\Gamma}{2} + i\Delta\right)\tilde{\rho}_{ab} + i\Omega_R \rho_{aa} - i\frac{\Omega_R}{2};$$

$$\dot{\rho}_{aa} = -\Gamma \rho_{aa} + i\frac{\Omega_R}{2}(\rho_{ab} - \rho_{ba});$$

$$\dot{\rho}_{ba} = -\left(\frac{\Gamma}{2} - i\Delta\right)\tilde{\rho}_{ba} - i\Omega_R \rho_{aa} + i\frac{\Omega_R}{2}.$$

$$\vec{F} = \Gamma_a \vec{k} \frac{\Omega_R^2}{4\Delta^2 + \Gamma^2 + 2\Omega_R^2} \longrightarrow \sim \frac{\Gamma_a \vec{k} \Omega_R^2}{4(\Delta \mp kv)^2 + \Gamma^2 + 2\Omega_R^2}$$

$$\vec{F} = F_a \mp m\beta v = \frac{\Gamma_a \vec{k} \Omega_R^2}{4\Delta^2 + \Gamma^2 + 2\Omega_R^2} \pm \frac{8\Gamma_a \vec{k}^2 \Omega_R^2 \Delta}{(4\Delta^2 + \Gamma^2 + 2\Omega_R^2)^2} v$$

Сила трения

$$\vec{F} = F_a - m\beta v - (F_a + m\beta v) = -2m\beta v$$